

## ВОЛЬТ-ФАРАДНЫЕ ХАРАКТЕРИСТИКИ ТОНКОПЛЕНОЧНЫХ СТРУКТУР $n$ -GaAs

Горев Н. Б., Костылев С. А., Макарова Т. В., Прохоров Е. Ф.,  
Уколов А. Т.

Для арсенид-галиевоой тонкопленочной структуры пленка—полуизолирующая компенсированная подложка с контактом Шоттки на пленке получена в аналитическом виде зависимость низкочастотной барьерающей емкости от запорного напряжения на барьере Шоттки. Показано, что особенности вольт-фарадной зависимости тонкопленочных структур  $n$ -GaAs с барьером Шоттки обусловлены процессами перезарядки глубоких центров в переходе пленка—подложка при смыкании областей обеднения барьера и перехода пленка—подложка, что, в частности, позволяет определить по измерениям низкочастотной барьерающей емкости концентрацию незаполненных глубоких центров в подложке вблизи границы с пленкой.

Проблема вольт-фарадных измерений в полупроводниках с большими градиентами примеси обсуждается очень давно, однако дискуссия длительное время имела скорее умозрительный характер. Ограничение рассматриваемых полупроводников классом тонкопленочных арсенид-галиевых структур, где областью большого градиента примеси является  $n$ — $n$ -переход между низкоомной пленкой и полуизолирующей компенсированной подложкой, при выделении ситуации, актуальной и сегодня, позволило получить первые реальные результаты [<sup>1, 2</sup>]. Здесь показано, что при смыкании областей обеднения барьера Шоттки и перехода пленка—подложка наблюдается не привычное уменьшение низкочастотной барьерающей емкости с ростом обратного смещения, а ее выход на отличную от нуля константу, причем перед этим наблюдается резкое падение емкости. В [<sup>3</sup>] установлено, что при значительном смыкании указанных областей обеднения на вольт-фарадной зависимости появляется растущий участок. Однако аналитические выражения, устанавливающие связь между низкочастотной барьерающей емкостью и параметрами тонкопленочной структуры  $n$ -GaAs в условиях смыкания областей обеднения барьера Шоттки и перехода пленка—подложка, что представляет несомненный интерес с точки зрения метрики тонкопленочных структур, отсутствуют. Получение таких аналитических выражений и составляет цель данной работы.

Для дальнейшего рассмотрения низкочастотную барьерающую емкость  $C$  удобно выразить через электрическое поле  $E_b$  на границе металл—полупроводник:

$$C = \epsilon \epsilon_0 S \frac{dE_b}{dV}, \quad (1)$$

где  $S$  — площадь барьера kontakt,  $V$  — приложенное к барьеру напряжение. Получим зависимость  $E_b(V)$ .

Пусть дана полупроводниковая структура низкоомная пленка—высокоомная компенсированная подложка с барьерным kontaktом на пленке. Пленка содержит

только мелкие доноры с концентрацией  $N_0$ , а подложка — мелкие доноры и компенсирующие их глубокие центры захвата с концентрациями  $N_s$  и  $N_i$  соответственно. Направим ось  $OX$  системы координат перпендикулярно пленке и зафиксируем нуль в плоскости барьера Шоттки. Пусть к барьерному контакту приложено запорное напряжение  $V$  такое, что области обеднения барьера Шоттки и перехода пленка—подложка сомкнуты, т. е. в некоторой точке пленки  $x_m$  концентрация свободных носителей достигает максимального значения  $n_m < 0.9 N_0$ . Известно, что в современных тонкопленочных структурах такая ситуация создается при умеренных напряжениях на барьере, когда еще нет лавинного пробоя [например, в арсенид-галиевом полевом транзисторе с затвором Шоттки (ПТШ) вблизи отсечки]. Следуя [4], отметим, что обратное смещение барьера не приводит к инверсии, и задача, таким образом, является монополярной.

В рамках диодной теории барьера Шоттки данная структура описывается системой уравнений

$$\frac{dE}{dx} = \frac{q}{\epsilon \epsilon_0} \begin{cases} n - N_0, & x < h, \\ n + N_t \frac{n}{n + n_1} - N_s, & x > h, \end{cases} \quad (2)$$

$$\frac{dn}{dx} = \frac{q}{kT} nE,$$

где  $n$  — концентрация свободных носителей,  $E$  — электрическое поле,  $h$  — толщина пленки,  $n_1$  — параметр Шокли—Рида, определяемый глубиной залегания центра  $E_t$ .

Функции  $E(x)$  и  $n(x)$  непрерывны в точке  $x = h$  и при  $x \rightarrow \infty$  удовлетворяют граничному условию

$$\begin{aligned} E \rightarrow 0 &\Leftrightarrow n \rightarrow n_i, \\ x \rightarrow \infty &\quad x \rightarrow \infty \end{aligned} \quad (3)$$

где  $n_i$  — концентрация свободных носителей в глубине подложки, связанная с  $N_t$ ,  $N_s$ ,  $n_1$  условием нейтральности  $n_i + N_t n_i / (n_i + n_1) = N_s$ . Граничное условие при  $x = 0$  в рамках диодной теории имеет вид

$$V = \frac{kT}{q} \ln \frac{N_c}{n(0)} - \varphi_b. \quad (4)$$

Здесь  $N_c$  — плотность состояний в зоне проводимости,  $\varphi_b$  — высота барьера со стороны металла.

После исключения из системы (2)  $x$  она легко интегрируется, и с учетом (3) и непрерывности при  $x = h$  для искомой величины  $E_b$  получаются следующие выражения:

$$E_b = \left( \frac{2kT}{\epsilon \epsilon_0} \right)^{1/2} \left[ n(0) - n_m + N_0 \ln \frac{n_m}{n(0)} \right]^{1/2};$$

$$l_d \left( \frac{N_0}{2n_m} \right)^{1/2} \left[ \int_{n(0)/n_m}^1 \frac{dt}{t \left( t - 1 + \frac{N_0}{n_m} \ln t \right)^{1/2}} + \int_{n(h)/n_m}^1 \frac{dt}{t \left( t - 1 + \frac{N_0}{n_m} \ln t \right)^{1/2}} \right] = h; \quad (5)$$

$$\frac{n_m}{n(h)} = \left[ \frac{n_1 + n(h)}{n_1 + n_i} \right]^{N_t/N_0} \left[ \frac{n_j}{n(h)} \right]^{N_s/N_0} \exp \left( \frac{n_m - n_i}{N_0} \right),$$

где  $l_d = \sqrt{\frac{\epsilon \epsilon_0 k T}{q^2 N_0}}$  — дебаевская длина в пленке.

Ограничимся структурой типа ПТШ, для которой  $N_0 \sim 10^{17}$ ,  $N_t \sim 10^{16}$ ,  $N_s \sim 10^{15} \text{ см}^{-3}$ ,  $n_i \sim 10^9 \text{ см}^{-3}$  (при комнатной температуре). При таких значениях параметров  $n_1 \sim 10^{10} \text{ см}^{-3}$  (т. е.  $E_t \sim 0.4$  эВ). Следовательно, частота зондирующего сигнала малой амплитуды, достаточная для проведения измерений, может составить десятки герц, поскольку время освобождения ловушек (при сечении захвата  $\sim 10^{-15} \text{ см}^2$ ) оценивается величиной  $10^{-2}$  с.

Пусть сперва обратное смещение барьера Шоттки не настолько велико, чтобы вызвать выполаживание перехода пленка—подложка, т. е. имеет место условие  $n_m \gg n(h)$ . Тогда с учетом порядков величин зависимость  $C(V)$ , определяемая (1), (4), (5), легко выражается в параметрическом виде (параметром служит  $n_m$ )

$$C = qS \left( \frac{2\epsilon \epsilon_0 N_0}{kT} \right)^{1/2} \frac{B}{AB + \frac{N_0}{n_m} - 1};$$

$$V = \frac{kT}{q} \ln \left( \frac{N_c}{n_m} + \frac{n_m}{N_0} + A^2 \right) - \varphi_b, \quad (6)$$

где

$$A = \frac{h}{\sqrt{2} l_d} + 2 \left( \ln 3 - \frac{n_m}{N_0} \right)^{1/2} - \frac{\sqrt{2}}{\sqrt{1+2t}} \ln \frac{(\sqrt{1+3t} + \sqrt{1+2t})^2}{t} - D;$$

$$B = \left( \ln 3 - \frac{n_m}{N_0} \right)^{-1/2} + \frac{\sqrt{2}}{(1+2t)^{3/2}} \ln \frac{(\sqrt{1+3t} + \sqrt{1+2t})^2}{t} +$$

$$+ \frac{\sqrt{2}}{t(1+2t)\sqrt{1+3t}} + \frac{1}{2} \frac{N_t - N_s}{N_t - N_s + N_0} \left( \frac{N_0}{n_m} - 1 \right) \frac{1}{D};$$

$$D = \left[ \frac{N_t - N_s}{N_t - N_s + N_0} \left( \ln \frac{n_m}{n_i} - \frac{n_m}{N_0} \right) - \frac{N_t}{N_t - N_s + N_0} \ln \frac{N_t}{N_s} \right]^{1/2}; \quad t = 1 - \frac{n_m}{N_0}.$$

При дальнейшем увеличении  $V$  и соответствующем уменьшении  $n_m$  условие  $n_m \gg n(h)$  перестает выполняться, т. е. переход пленка—подложка выполаживается, а затем пик концентрации свободных носителей в пленке вообще исчезает. Однако и здесь зависимость  $C(V)$  можно получить в аналитическом виде, если учесть, что в силу значительной разницы между  $N_0$  и  $n_i$  выполаживание перехода пленка—подложка может начаться только при  $n_m \ll N_0$ . В этом же случае из (1)—(4) также можно получить зависимость  $C(V)$  в параметрической форме [параметром служит  $n_h = n(n)$ ]:

$$C = \frac{\epsilon \epsilon_0 S}{h + \sqrt{2} l_d \frac{\sqrt{N_0}}{n_i} \frac{F}{1 + \frac{N_t}{n_h + n_1} - \frac{N_s}{n_h}}} \operatorname{sgn}(n_h - n_i); \quad (7)$$

$$V = \frac{kT}{q} \left[ \ln \frac{N_c}{n_h} + \frac{1}{2} \left( \frac{h}{l_d} \right)^2 - \sqrt{2} \frac{h}{l_d} \frac{F}{\sqrt{N_0}} \operatorname{sgn}(n_h - n_i) \right]^{1/2} - \varphi_b,$$

$$F = \left[ n_h - n_t + N_t \ln \frac{n_1 + n_h}{n_1 + n_i} - N_s \ln \frac{n_h}{n_i} \right]^{1/2}.$$

Как показал расчет, зависимости  $C(V)$ , определяемые соответственно соотношениями (6) и (7), совпадают друг с другом в заметном интервале  $V$ , в котором одновременно выполняются условия  $n_m \gg n_h$  и  $n_m \ll N_0$ , что позволяет, произведя свивку в указанном интервале, рассчитать зависимость  $C(V)$  в широком диапазоне изменения.

Типичный пример рассчитанной таким образом зависимости приведен на рис. 1 (сплошные кривые). Как видно из графика, на кривых  $C(V)$  четко просматриваются четыре участка. Участки I и IV, на которых зависимость  $C(V)$  ведет себя привычным образом, очевидно, соответствуют ситуации, когда влияние перехода пленка—подложка еще не проявляется вследствие незначительности смыкания областей обеднения барьера Шоттки и  $n-\nu$ -перехода (участок I) либо уже не проявляется вследствие полного выталкивания перехода обратным смещением на барьере (участок IV). Этим же обусловлено и имеющее здесь место совпадение кривых 1 и 2. Действительно, в отсутствие влияния перехода пленка—подложка емкость обычным образом выражается через заряд слоя обеднения барьера Шоттки. Заряд же этот как в пленке, так и в подложке образован мелкими ионизированными донорами, концентрации которых для кривых 1 и 2 совпадают.

Рассмотрим, чем обусловлено аномальное поведение емкости на участках II и III. Для этого емкость удобно представить как скорость изменения заряда  $Q_b^+$  слоя обеднения барьера Шоттки с напряжением:

$$C = \frac{dQ_b^+}{dV}. \quad (8)$$

В отсутствие смыкания областей обеднения барьера и  $n-\nu$ -перехода пленка—подложка увеличение  $Q_b^+$  с ростом  $V$ , очевидно, никак не зависит от  $n-\nu$ -

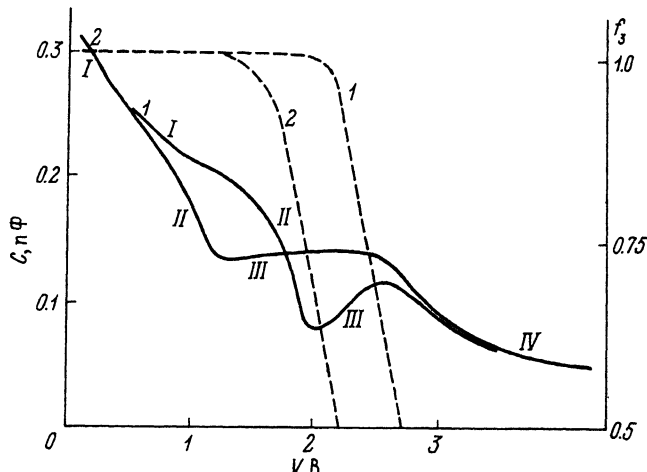


Рис. 1. Рассчитанная зависимость низкочастотной барьерной емкости (сплошные кривые) и степени заполнения глубоких центров в плоскости  $n-\nu$ -перехода (штриховые) от запорного напряжения на барьере.

$\varphi = 0.8$  эВ;  $h = 0.2$  мкм;  $S = 300$  мкм $^2$ ;  $T = 300$  К;  $N_0 = 10^{17}$  см $^{-3}$ ;  $N_s = 5 \cdot 10^{15}$  см $^{-3}$ ;  $n_1 = 9 \cdot 10^9$  см $^{-3}$ ;  $N_t$ , см $^{-3}$ :  
1 —  $10^{16}$ ; 2 —  $8 \cdot 10^{16}$ .

перехода. В случае же смыкания упомянутых областей ситуация изменяется, поскольку при этом увеличение  $Q_b^+$ , обусловленное сдвигом точки  $x_m$  вправо и уменьшением  $n_m$ , неизбежно сопровождается изменением заряда перехода пленка—подложка. Именно это обстоятельство является ключевым в понимании основных особенностей  $C-V$ -зависимости. Действительно, по достижении достаточно полного обеднения ( $n_m \ll N_0$ ) непосредственное влияние свободных носителей в пленке на величину  $Q_b^+$  становится пренебрежимо малым и можно записать

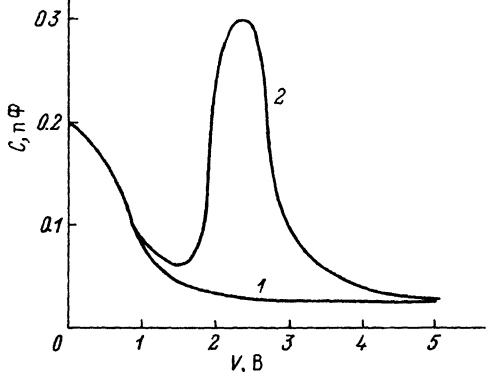
$$Q_b^+ + Q_j^+ = qN_0hS, \\ Q_j^+ = Q_j^-.$$
 (9)

Здесь  $Q_j^+$ ,  $Q_j^-$  — соответственно заряды слоя обеднения и слоя обогащения  $n-v$ -перехода, и второе равенство отражает условие нейтральности  $n-v$ -перехода. Заряд  $Q_j^-$  образован носителями, связанными на глубоких центрах. Концентрация же связанных носителей  $n_c$  выражается через концентрацию свободных как  $n_c = N_p n / (n + n_i)$ . Поэтому пока средняя концентрация свободных носителей в слое обогащения  $n-v$ -перехода, хотя и уменьшаясь с ростом  $V$ , остается много больше  $n_i$ ,  $Q_j^-$ , а следовательно, и  $Q_b^+$  практически не изменяется. В соответствии с (8) это означает, что величина емкости резко уменьшается (правый край участка II). Переходная область между участком I и правым краем участка II, очевидно, соответствует ситуации, когда условие  $n_m \ll N_0$  еще не выполняется, т. е.  $Q_b^+$  определяется не только положением точки  $x_m$ , но и величиной  $n_m$ . Заметим, что, поскольку резкое падение емкости наблюдается при значительном обеднении пленки свободными носителями, по результатам вольт-фарадовых измерений можно оценить напряжение отсечки ПТШ.

Когда же с дальнейшим увеличением  $V$  средняя концентрация свободных носителей в слое обогащения  $n-v$ -перехода сравнивается с  $n_i$ ,  $Q_j^-$  начинает уменьшаться, что в соответствии с (9) приводит к заметному увеличению  $Q_b^+$  и, следовательно, росту емкости по сравнению с участком II (участок III). Действительно, как видно из рис. 1, на котором изображена штрихами рассчитанная в рамках вышеизложенного подхода степень заполнения глубоких центров в плоскости перехода  $f_3 = n(h)/(n(h) + n_i)$ , начало роста  $C$  практически соответствует началу опустошения глубоких центров в плоскости перехода. При этом сохраняется соотношение  $n_m \gg n_i$ , а, как показывает расчет, начало участка роста емкости соответствует значению  $n_m \sim 10^{-3}N_0$ .

Таким образом, тонкопленочная структура, содержащая глубокие центры только в полуизолирующей подложке, имеет аномальную низкочастотную  $C-V$ - зависимость, что обусловлено особенностями распределения заряда и потенциала в результате смыкания объемного заряда барьера Шоттки и  $n-v$ -перехода. Именно наличие резкого  $n-v$ -перехода с глубокими центрами в высокой концентрации приводит в отличие от обычной ситуации с малыми градиентами концентраций к появлению участка резкого падения, а затем роста  $C-V$ - зависимости. Заметим, что обсуждаемые аномалии не могут быть связаны с появлением в измерительной цепи большого сопротивления. Действительно, в рассматриваемой планарной геометрии второй (омический) контакт расположен на пленке и линии тока к нему проходят в окрестности пика концентрации свободных носителей в пленке. Однако, как показано выше, рост емкости имеет место при  $n_m \gg n_i > n_h$ , т. е. хотя включенное последовательно с емкостью омическое сопротивление цепи и больше, чем в случае с толстой пленкой, оно остается далеким от ситуации с включением в цепь большого сопротивления подложки, достаточного для появления кажущегося роста емкости. Прямым подтверждением несущественности влияния большого сопротивления подложки на появление растущего участка емкости могут служить приведенные на рис. 2 типичные результаты эксперимента. Обе кривые сняты при нулевой частоте смещающего напря-

Рис. 2. Экспериментальная вольт-фарадная зависимость тонкопленочной структуры  $n$ -GaAs.  
 $h = 0.1 \text{ мкм}; N_0 = 2 \cdot 10^{17} \text{ см}^{-3}; f, \text{ МГц: } 1 - 1, 2 - 30$



и 2 на начальном участке, где они определяются только мелкими донорами в пленке, демонстрирует возможность удовлетворительного измерения низкочастотной емкости реальных структур, поскольку кривая 1 снята с помощью серийного измерителя Е7-12.

Что касается метрики тонкопленочных структур, то результаты работы позволяют определить по измерениям низкочастотной барьера емкости такой важный параметр, как концентрация незаполненных глубоких центров в подложке вблизи границы с пленкой  $N_{ts} = N_t - N_s$ . Действительно, из (6) вытекает, что при  $n_m \ll N_0 dC/dV > 0$  и имеет место следующее соотношение:

$$N_{ts} = \frac{C^3}{q\epsilon\epsilon_0 S^2 dC/dV}. \quad (10)$$

Поскольку данное выражение справедливо только при  $n_h \ll n_m \ll N_0$ , т. е. в некотором интервале  $V$ , экспериментальное определение которого затруднено, был проведен расчет стоящей в правой части (10) величины  $C^3/(q\epsilon\epsilon_0 S^2 dC/dV)$  по формулам (6) и (7) в широком диапазоне изменения  $V$  [на растущем участке зависимости  $C(V)$ ]. Расчет показал, что эта величина, зависящая от  $V$ , наиболее близка к  $N_{ts}$  в точке своего минимума, причем с хорошей точностью.

Следует заметить, что правая часть (10) очень похожа на хорошо известную формулу  $C - V$ -методики, связывающую концентрацию мелкой примеси с измеряемой барьера емкостью, и их различие заключается только в знаке. Однако эта вроде бы формальная разница имеет весьма наглядное происхождение. Действительно, как показано выше, на растущем участке зависимости  $C(V)$  изменение емкости с ростом  $V$  определяется не увеличением объемного заряда слоя обеднения барьера Шоттки вследствие ухода свободных носителей, а уменьшением связанного на глубоких центрах заряда слоя накопления перехода пленка—подложка. Этим и обусловлен, во-первых, тот факт, что в левой части (10) фигурирует концентрация глубоких центров в подложке, а не мелкой примеси в пленке, и, во-вторых, различие в знаке правой части (10) и общепринятой формулы  $C - V$ -методики.

Таким образом, нетривиальные особенности вольт-фарадной зависимости тонкопленочных структур  $n$ -GaAs с барьером Шоттки обусловлены именно процессами перезарядки глубоких центров в переходе пленка—подложка при смыкании областей обеднения барьера Шоттки и упомянутого перехода, что, в частности, позволяет определить по измерениям низкочастотной емкости концентрацию незаполненных глубоких центров в подложке вблизи границы с пленкой.

жения на высокой (кривая 1) и низкой (кривая 2) частотах зондирующего сигнала. Естественно, что проблема включения в измерительную цепь большого сопротивления подложки и иска жения таким образом результатов измерения емкости одинакова в обоих случаях. Следовательно, отсутствие растущего участка на высокочастотной кривой достаточно ясно свидетельствует в пользу вышеизложенных представлений. Кроме того, близость кривых 1

## СПИСОК ЛИТЕРАТУРЫ

- [1] Lehovec K., Zuleeg R. Gallium arsenide and related compounds // Proc. V Int. Symp. London—Bristol, 1975. P. 292—306.
- [2] Lehovec K. // Appl. Phys. Lett. 1975. V. 26. N 3. P. 82—84.
- [3] Горев Н. Б., Костылев С. А., Макарова Т. В., Прохоров Е. Ф., Уколов А. Т. // ФТП. 1989. Т. 23. В. 2. С. 357—359.
- [4] Родерик Э. Х. Контакты металл—полупроводник. М., 1982. 207 с.

Институт технической механики  
АН Украины  
Днепропетровск

Получена 11.02.1991  
Принята к печати 26.12.1991

---